

روابط بیوژئومورفولوژی بین پوشش گیاهی، خاک، و عناصر لندفرمی (مطالعه موردی حوضه حبله‌رود)

زهرا عادلی - دانشجوی دکتری ژئومورفولوژی، دانشکده علوم زمین دانشگاه شهید بهشتی
متزه قهرودی تالی^{*} - استاد گروه جغرافیا طبیعی، دانشکده علوم زمین دانشگاه شهید بهشتی
سیدحسن صدوق - استاد گروه جغرافیای طبیعی، دانشکده علوم زمین دانشگاه شهید بهشتی

دریافت: ۱۴۰۰/۰۶/۰۷ پذیرش: ۱۴۰۰/۰۲/۳۱

چکیده

مطالعه روابط فرایندهای ژئومورفولوژیکی و بیولوژیکی در مقیاس‌های متعدد در دانش بیوژئومورفولوژی بررسی می‌شود. هدف از این پژوهش ارزیابی الگوی توزیعی پوشش گیاهی در مقیاس کوچک در ارتباط با عناصر لندفرمی سطح زمین در حوضه حبله‌رود است. این حوضه در جنوب کوه‌های البرز بین استان‌های سمنان و تهران واقع شده است. در شناسایی عناصر لندفرمی استفاده از روش ژئومورفون و پوشش گیاهی از شاخص SAVI استفاده شده است و برای درک ارتباط آن‌ها نمونه‌برداری در ۴۰ پلاٹ ۱ متر مربعی، ویژگی‌های پوشش گیاهی، خصوصیات آزمایشگاهی خاک از جمله بافت، PH، مواد آلی، و رطوبت برداشت شده است و برای روابط آن‌ها تحلیل‌های آماری بدکار برده شده است. یافته‌های پژوهش درخصوص ویژگی‌های پوشش گیاهی نشان داده است که بیشترین الگوی متراکم نقطه‌ای در پای دامنه، دره‌های کوچک پای دامنه، و دامنه و کمترین آن در خط‌الرأس پهلوی رخ داده است. الگوی پراکنده نقطه‌ای بیشترین سهم را به ترتیب بر روی دامنه‌ها، خط‌الرأس پهلوی، دره‌های کوچک پای دامنه، و پای دامنه داشته است. در الگوی متراکم گیپی سهم دامنه‌ها بیشتر از سایر عناصر بوده است. تأثیر حاصله در زمینه تغییرات الگوی گیاهی با نوع لندفرم و خصوصیات خاک بیانگر این است که نوع الگوی پوشش گیاهی با میزان شن، PH، EC، و همبستگی مثبت و با عناصر لندفرمی، درصد رس و سیلت، ارتفاع، رطوبت، و مواد آلی همبستگی منفی دارد. تحلیل عاملی و رگرسیون خاطرنشان ساخت که حدود ۷۰ درصد تغییرات الگو و تراکم پوشش گیاهی توسط متغیرهای نوع لندفرم، رطوبت، مواد آلی، و ارتفاع ارتباط قابل تبیین است.

واژگان کلیدی: الگو، بیوژئومورفولوژی، خاک، رگرسیون، ژئومورفون.

مقدمه

بیوژئومورفولوژی به مطالعه روابط فرایندهای ژئومورفولوژیکی و بیولوژیکی می‌پردازد. تعامل بین ژئومورفولوژی و گیاهان به عنوان سازندهای اکوسیستم در همهٔ محیط‌های خشکی و آبی در همهٔ مقیاس‌ها، به‌ویژه در مقیاس کوچک مورد توجه دانش بیوژئومورفولوژی است؛ به‌طوری‌که با بررسی زیستگاه‌های مختلف در مقیاس کوچک اطلاعات ناهمگنی در اکوسیستم‌ها و تنوع زیستی به‌دست می‌آید. این پژوهش‌ها از طریق استخراج الگوهای ترکیب‌شده از گیاهان، فرایندها، و فرم‌ها در چشم‌انداز حاصل می‌شود و تنوع عوامل زیستی (نوع پوشش، فراوانی، الگو، تراکم) و عوامل غیرزیستی (فرم، خاک، زمین‌شناسی، اقلیم) در مقیاس‌های مختلف را مشخص می‌کند (والنتی، ۲۰۱۳: ۱۵۹). در این میان ویژگی‌های خاک به عنوان یکی از عوامل مهم است که با تکامل الگوی پوشش گیاهی مرتبط و باعث ظهور اولیه الگوها می‌شود و از سوی دیگر توزیع خاک و پوشش گیاهی در اکوسیستم‌ها با نوع لندفرم‌ها در تعامل است (دانکرلی، ۲۰۱۴: ۳۱۵).

در بسیاری از مطالعات بیوژئومورفولوژیک به اهمیت ویژگی‌های شیمیایی و فیزیکی خاک پرداخته شده است (پولیکنیگ، ۲۰۱۵؛ زائو، ۲۰۲۰؛ ۵۸۵؛ ۲۰۲۰). زیرا خاک نه تنها محیط، آب، و مواد معدنی را برای گیاه فراهم می‌کند، بلکه در الگو و پراکندگی، نوع، و دینامیک گیاه نیز مؤثر است (نی، ۲۰۱۹؛ ۱۰۴؛ ۲۰۱۹). از جمله ویژگی‌های شیمیایی خاک، که به اهمیت آن‌ها اشاره شده است، PH، EC، و رطوبت و مواد آلی (تامپسون، ۲۰۰۵؛ هاپ، ۲۰۰۷؛ ال کلبوی، ۲۰۱۵؛ ۳۱؛ ۲۰۱۵؛ ۲۰۱۸؛ ۲۲۷؛ کیم، ۲۰۱۶؛ ۲۳؛ ۲۰۲۱؛ هلسبرگر، ۲۰۲۱) و ویژگی مهمن فیزیکی خاک و بافت است، که در بیشتر پژوهش‌ها اهمیت آن ذکر شده است؛ به طوری که ۷۰ درصد خصوصیات خاک به فاکتورهای بافت و هدایت الکتریکی و آهک خاک مرتبط است. تاثیرات بافت خاک به سبب اختلاف در میزان رطوبت خاک است که به تغییرات در شکل دهی، هوادهی، و میزان شوری خاک منجر می‌شود (وانگ، ۲۰۱۶؛ ۵؛ لوكینا، ۲۰۱۹؛ ۸۰۰؛ نی، ۲۰۱۹؛ ۱۰۶؛ کیم، ۲۰۱۶؛ ۴؛ ال کلبوی، ۲۰۱۵؛ ۱؛ کاسلین، ۲۰۱۹؛ ۳۵۶؛ جوادی و همکاران، ۱۳۹۵).

خصوصیات خاک در لندفرم‌ها سبب تغییرات الگو، تراکم، و ترکیب پوشش گیاهی می‌شود. از طرفی دیگر، ویژگی‌های خاک بهشدت تحت تأثیر پوشش گیاهی در مقیاس‌های مکانی کوچک‌تر قرار دارد. مطالعات متعدد بیوژئومورفولوژیکی در مقیاس‌های کوچک در واحدهای لندفرمی مختلف انجام شده و به اهمیت اکولوژیک میکرولندفرم‌ها پرداخته شده است (دک، ۲۰۲۱؛ ۱). موری و همکاران روابط بیوژئومورفولوژی میکرومقياس را در خط ساحلی مطالعه کرده‌اند (موری، ۲۰۰۲؛ ۱۶). برانکلی و کانو الگوهای پوشش گیاهی را در ارتباط با لندفرم‌ها در مقیاس کوچک در قطب جنوب و شمال (برانکلی، ۲۰۰۳؛ ۴۰۴؛ کنونه، ۲۰۰۴؛ ۵۶۲؛ ۲۰۰۴) در سیستم‌های کویری شمال چین، پودل و وناس (۱۱۲۰-۱۱۱۴؛ ۲۰۱۴) علت متفاوت بودن الگوها را روی دامنه‌ها، الکساندرا و همکاران ۲۰۱۶؛ ۹۱۹) استخراج الگوهای لندفرمی و پوشش گیاهی با استفاده از شاخص توپوگرافی (TPI) را در مناطق کوهستانی و مسطح، و مارچی و همکاران (۱۲؛ ۲۰۲۰) تعاملات بیوژئومورفولوژیک در مقیاس کوچک این (۱۱؛ ۲۰۲۱) بر روی تپه‌های باستانی مجارستان بررسی کرده‌اند. مزیت بررسی بیوژئومورفولوژیک در مقیاس کوچک این است که تأثیر الگوهای شکل گرفته در ک بهتری از فرایندها و تغییرات اکوسیستم‌ها را نشان می‌دهد. همچنین، الگوهای لندفرمی در مقیاس کوچک نقش عمده‌ای در تعیین الگوی توزیعی گیاه دارد و ابزار مناسبی برای ارزیابی روابط بیوژئومورفولوژی در مقیاس بزرگ است (کنونه، ۲۰۰۴؛ ۵۶۲).

در سال‌های اخیر ژئومروفون روشی نسبتاً جدید برای شناسایی و استخراج عناصر لندفرمی معرفی شده است (استپنیکی و جاسویز، ۲۰۱۱؛ ۱۰۹). در این بین، می‌توان به کارهای جاسویز (۲۰۱۳؛ ۱۰۸)، لیبوا و همکاران (۶۸؛ ۲۰۱۶)، روینا (۲۰۱۷؛ ۳۹)، فلین و همکاران (۲۰۲۰؛ ۱۱۳۹)، و یان (۲۰۲۰؛ ۶) اشاره کرد.

در پژوهش‌های داخلی از ویژگی‌های خاک به عنوان شاخص مناسب در تفکیک جوامع گیاهی و پراکنش آن‌ها نام برده‌اند (احمدی و همکاران، ۱۳۸۱؛ ۹۱؛ زارع و همکاران، ۱۳۸۵؛ ۱۴۷؛ قادری و همکاران، ۱۳۹۴؛ ۴۸۸). همچنین، علاوه بر اهمیت ویژگی‌های خاک، عوامل فیزیوگرافی و مورفومتری لندفرم‌ها را هم بررسی کرده‌اند (شکرالهی و همکاران، ۱۳۹۱؛ ۱۳۶۵؛ علی‌نژاد و همکاران، ۱۳۹۷؛ ۷۰۸؛ تایا و همکاران، ۱۳۹۸؛ ۷۱۱).

هدف از این پژوهش ارزیابی الگوی توزیعی پوشش گیاهی در مقیاس کوچک در ارتباط با واحدهای لندفرمی سطح زمین در حوضه حبله‌رود است و این باور دنبال شده است که توزیع و تنوع واحدهای لندفرمی نقش عمده‌ای در تراکم و نوع الگوی پوشش گیاهی دارد.

مواد و روش‌ها

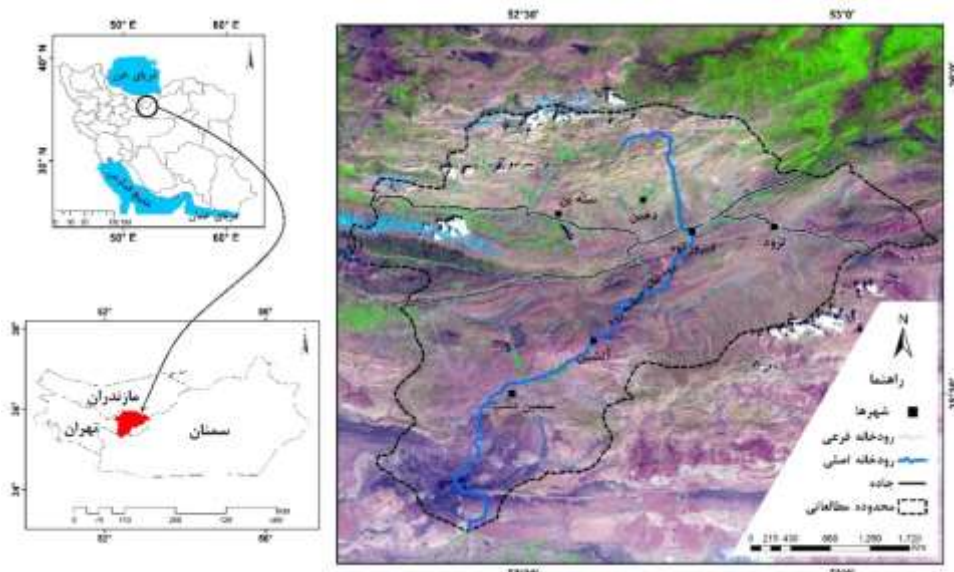
محدودهٔ مورد مطالعه

حوضهٔ حبله‌رود ۳۲۷۴ کیلومتر مربع وسعت دارد. از نظر موقعیت جغرافیایی، حوضهٔ آبخیز حبله‌رود بین "۳۵°۱۶' تا "۳۵°۵۷' عرض شمالی و "۴۳°۱۵' تا "۵۳°۸' طول شرقی در مرز بین استان‌های سمنان و تهران واقع شده است (شکل ۱).

حوضهٔ حبله‌رود در جنوب رشته‌کوه البرز و در پهنهٔ زمین‌ساختی البرز مرکزی قرار دارد. روند کوه‌ها شرقی- غربی بوده و تحت تأثیر کوه‌زایی آلپی به شکل کنونی درآمده است. حوضهٔ حبله‌رود یک پیشینه‌رود است که در مسیر خود ساختارهای زمین‌شناسی بسیاری همچون تاقدیس‌ها، ناویدیس‌ها، و دره‌های گسلی را قطع کرده که این مسئله بیانگر اقلیم پویا در دوره‌های بارانی کواترنری است (جابری و همکاران، ۱۳۹۱: ۸۴). در حوضهٔ حبله‌رود از قدیمی‌ترین سازندها نظیر بایندور تا جوان‌ترین نهشته‌های منفصل مانند تراس‌های آبرفتی کواترنری و واریزه‌ها و زمین‌لغزش‌ها و رسوبات بستر رودخانه دیده می‌شود. ارتفاعات منطقه گسلی بوده و تکتونیک فعال منطقه باعث بوجود آمدن درز و شکست ثانویه در آن‌ها شده است. گسترهٔ بسیار وسیعی از منطقهٔ مورد مطالعه را واحدهایی با سن کواترنری تشکیل می‌دهند که به دلیل وسعت زیاد دارای تنوع این رسوبات است. در مجموع، واحدهای رسوبی کواترنری شامل رسوبات آبرفتی قدیمی و جدید، رسوبات بادی، تراس‌های رودخانه‌ای قدیمی و جدید، و تراورتن است.

این حوضه، که از زیر‌حوضه‌های دشت کویر است، جزو مناطق بسیار گرم با میانگین دمای سالانه ۲۵ درجهٔ سانتی‌گراد محسوب می‌شود. رژیم بارش در منطقهٔ مطالعاتی مدیترانه‌ای است (فرج‌زاده، ۱۳۷۸) و با میانگین بارش ۲۵۰ میلی‌متر در سال و فصل خشک متتمرکز بر تابستان است. در سال‌های خشک‌سالی، میزان بارش سالانه آن به زیر ۱۰۰ میلی‌متر رسیده است (سازمان هواشناسی، ۱۳۹۹) که بیانگر حاکمیت شدید شرایط بیانی در این منطقهٔ داخلی ایران است.

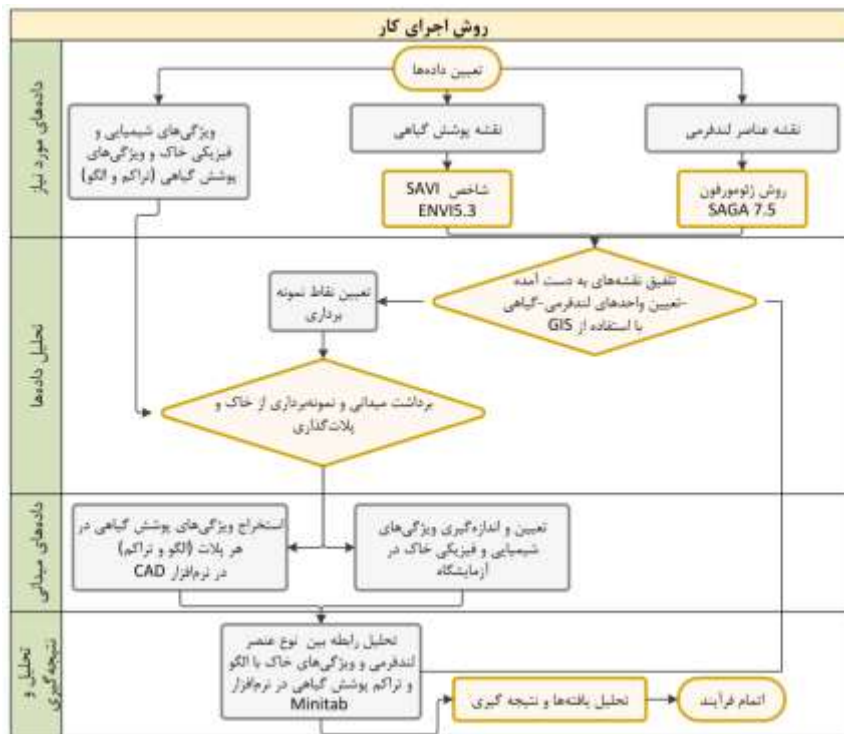
تعییرات خاک در این ناحیه کاملاً مشخص است؛ به نحوی که در دامنه‌های ارتفاعات اغلب قهوه‌ای رنگ و در بعضی از شیب‌های تند نوع خاک بلوطی شیری‌رنگ مشاهده می‌شود و در ارتفاعات خاک‌های لیتول آهکی، که اکثرًا به علت شیب زیاد و عوامل نامساعد جوی خاک کم‌عمق با پوشش گراولی موجب ایجاد رویشگاه shallow to gravel شده است. در این منطقه به علت کم‌عمق‌بودن خاک و نزدیک‌بودن سنگ مادر به سطح زمین عموماً بیرون‌زدگی‌های سنگی رخنمون سنگی مشاهده می‌شود (فرج‌زاده، ۱۳۷۸). بنابراین، محدودیت برای استقرار گیاهان ریشه‌بند را به وجود آورده و شرایط برای استقرار گونه‌هایی با ریشه افشاران و کوتاه را مناسب کرده است. بنابراین، در این منطقه انواع گیاهان خانواده گرامینه و چتریان همچنین گونه‌های درختی ارس و گز و تاغ را می‌توان دید. وسعت، تنوع آب و هوایی، خاک، شیب، شکل و ساختار زمین سبب شده که پوشش گیاهی منطقه متنوع باشد و گونه‌های متفاوت، که سازگاری مختلفی با شرایط اکولوژیک خاص دارند، در منطقه دیده شده است. در کنار این گونه‌ها، گیاهانی با ریشه قوی، به علت مطلوب‌بودن سایر شرایط، با نفوذ ریشه در شکاف سنگ‌ها، امکان استقرار را برای خود ایجاد کردند. بیشتر این گیاهان، گونه‌های بالشتکی و خاردار، مانند گون‌ها، چوبک‌ها، یا درختچه‌های زرشک شیرخشت و راناس (آلوي وحشی) نیز در منطقه به صورت پراکنده توزیع شده‌اند (طرح وزارت جهاد کشاورزی، ج ۵، ۱۳۸۹: ۲۴).



شکل ۱. موقعیت جغرافیایی منطقه مورد مطالعه

متغیرهای مورد بررسی در این تحقیق شامل نوع عنصر لندفرمی، ارتفاع، ویژگی‌های شیمیایی و فیزیکی خاک، و خصوصیات پوشش گیاهی (الگو و تراکم) است. نقشه عناصر لندفرمی با استفاده از مدل رقومی ارتفاع^۱ و روش ژئومورفون^۲ استخراج شده و کلیه محاسبات در نرم‌افزار SAGA7.5 GIS انجام شده است. نقشه پوشش گیاهی با استفاده از تصویر ماهواره‌ای لندست^۳ و استخراج شاخص SAVI^۴ تهیه شده است و شاخص در نرم‌افزار ENVI5.3 محاسبه شده است. نقشه واحدهای نمونه‌برداری با استفاده از تلفیق نقشه عنصر لندفرمی (ژئومورفون) و نقشه پوشش گیاهی (SAVI) در نرم‌افزار ArcGIS10.5 به دست آمده است. عملیات برداشت نمونه خاک و ویژگی‌های پوشش گیاهی با پلات‌های ۱ متر مربعی از عمق ۲۰–۰ سانتی‌متر انجام شده است. ویژگی‌های شیمیایی و فیزیکی خاک در آزمایشگاه تجزیه و تحلیل شده و الگوها و تراکم پوشش گیاهی در هر پلات با استفاده از نرم‌افزار CAD استخراج شده است. پس از تهیه اطلاعات از واحدهای لندفرمی، خاک و پوشش گیاهی، برای بررسی روابط بین عوامل ذکر شده از تجزیه رگرسیون چندمتغیره در نرم‌افزار Minitab18 استفاده شده است (شکل ۲). روش اجرای پژوهش به شرح زیر است:

1. DEM
2. Geomorphon
3. Soil Adjusted Vegetation Index

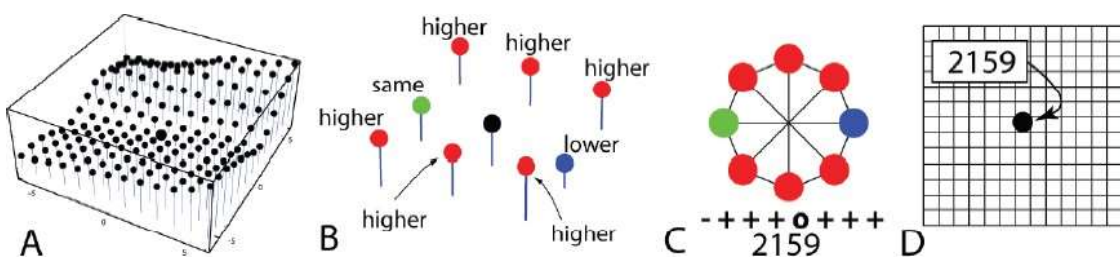


شکل ۲. مراحل اجرای پژوهش

برای تهیه نقشه عناصر لندفرمی از مدل رقومی ارتفاع ALOSPOL SAR 12.5^۱ مربوط به سال ۲۰۱۰^۲ و نرم‌افزار SAGA7.5 GIS استفاده شده است. ژئومورفون یک ناهمواری با جهت‌گیری ثابت و انعطاف‌پذیر است (استپینسکی و جاسویز، ۲۰۱۱: ۱۰۹). شباهت‌های بافت و تضادهای ارتفاع بر اساس استخراج الگوهای سه‌گانه ساده محلی^۳ از DEM اسخراج می‌شود (شکل ۳) (نونجیری، ۲۰۲۰: ۴). الگوی سه‌گانه محلی به این صورت است که برای شناسایی فرم‌ها، مفاهیم بالاتر، پایین‌تر، هم‌سطح برای یک سلول مرکزی ایجاد می‌شود. این سطح با استفاده از اصل خط دید^۴ به دست می‌آید. این اصل توسط یوکایامن پیشنهاد شد که با استفاده از ناهمواری سطح و فاصله افقی قابل توصیف است و از زاویه‌های زینت^۵ و نadir^۶ در هشت جهت اصلی قطب‌نما برای تفسیر استفاده می‌کند که یک الگوی هشت‌گانه (متشكل از سه نماد "+", "-", "+", "0", یا "-") را به وجود آورده‌اند. پیکسل مشخص شده این الگو به عنوان مثال، [+,-,-,0,+]

+ [توصیف کننده یک الگوی هشت‌گانه است (استپینسکی و جاسویز، ۲۰۱۱: ۱۱۰).

1. DEM
2. <https://ASF.alaska.edu/data-sets/sar-data-sets/ALOS-PALSAR>
3. Local ternary patterns
4. The line-of-sight principle
5. Zenith
6. Nadir

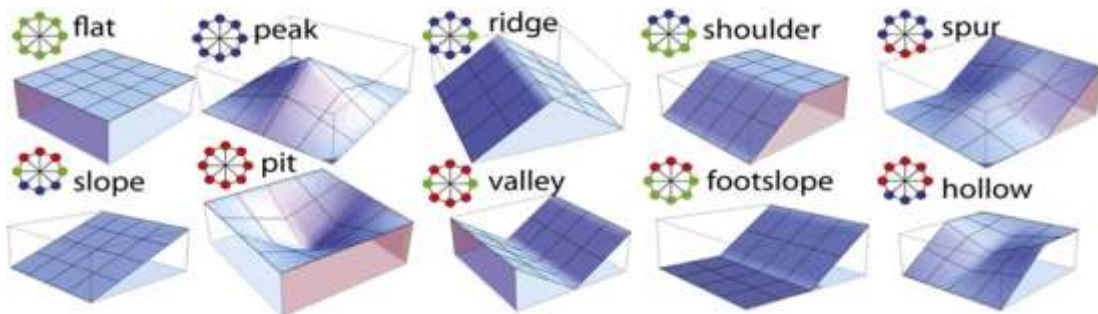


شکل ۳. مفهوم کاربردی الگوی سه‌گانه محلی در هشت جهت- طرح Jarosław Jasiewicz (جاسویز، ۲۰۱۳)

در یک چشم‌انداز معمولی، بیشترین و مؤثرترین ژئومورفون‌های قابل تشخیص شامل ده عنصر است که در جدول ۱ معادل فارسی و در شکل ۴ نشان داده شده است.

جدول ۱. معادل فارسی ده لندفرم غالب

Flat: مسطح(دشت)	slope: دامنه	peak: قله	ridge: خطالرأس	shoulder: شانه خطالرأس
valley: دره	foot slope: پای دامنه	Pit: گودال (دره عمیق)	دره کوچک پای دامنه	خطالرأس پهلوی یا جانبی spur



شکل ۴. ده ژئومورفون غالب در چشم‌انداز (جاسویز، ۲۰۱۳)

نقشه پوشش گیاهی منطقه با استفاده از تصویر لندست ۸ سال ۲۰۲۰ و شاخص پوشش گیاهی (SAVI)^۱ تهیه شده است. زیرا، با توجه به مطالعات انجام‌گرفته به وسیله برخی پژوهشگران، شاخص NDVI نمی‌تواند به خوبی بیانگر درصد پوشش گیاهی در مناطق خشک باشد. شاخص‌هایی که بازتاب خاک را درنظر می‌گیرند، با دقت بیشتری می‌توانند درصد پوشش گیاهی را تخمین بزنند (درویشزاده و همکاران، ۱۳۹۱).

کلید این شاخص در مقدار ضریب (I) است. ضریب خاک بین صفر برای پوشش و صد درصد تا یک برای خاک لخت تغییر می‌کند. مقدار این ضریب در بیشتر مطالعات ۵۰ در نظر گرفته می‌شود (مسعود و کویک، ۱۵۶؛ ۲۰۰۶).

شاخص SAVI برای لندست ۸ برای منطقه مورد مطالعه به صورت رابطه ۱ تعریف شده است که در آن B5 باند مادون قرمز نزدیک، B4 باند قرمز، و L ضریب خاک است.

$$\text{SAVI} = [(B5-B4)/(B5+B4+L)] * (1+L)$$

از تلفیق واحدهای لندفرمی و پوشش گیاهی نقشه واحدهای لندفرمی - گیاهی تهیه شده است و عناصر ژئومورفون، که دارای پوشش گیاهی طبیعی و مناسب‌اند، انتخاب شده‌اند. در نقشه واحدهای لندفرمی - گیاهی، چهار نوع ژئومورفون

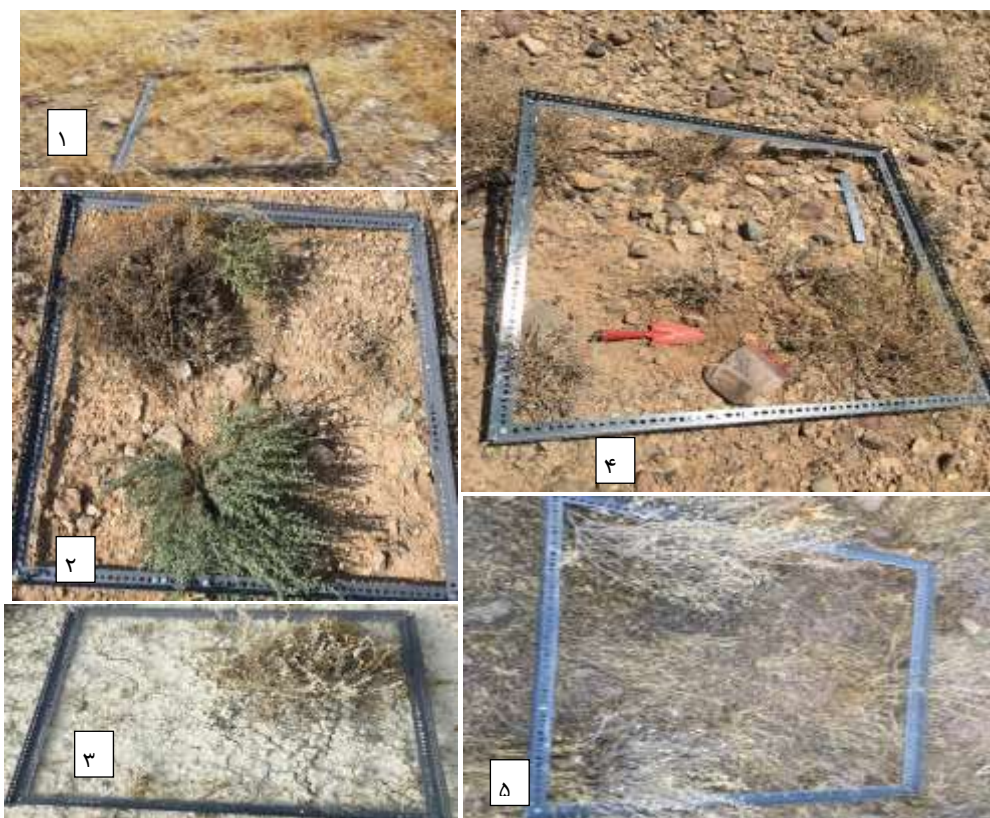
1. Soil Adjusted Vegetation Index

شامل دامنه، دره‌های کوچک پای دامنه، خطالرأس پهلوی، پای دامنه با پوشش گیاهی متراکم تا پراکنده استخراج شده است. چهل نمونه به صورت تصادفی - سیستماتیک برای اندازه‌گیری ویژگی‌های خاک و استخراج پوشش گیاهی در نقشهٔ اخیر مشخص شده است. شکل ۷ محل نقاط نمونه‌برداری و پلات‌گذاری در منطقه مورد مطالعه را نشان می‌دهد. با پیمایش‌های میدانی، چهل نمونه خاک از بین چهار عنصر فوق در پلات‌های یک متر مربعی برداشت شده است (شکل ۵).

پس از پرس و خشک‌کردن نمونه‌های خاک برداشت شده، از الک دو میلی‌متری عبور داده شد. برای اندازه‌گیری هدایت الکتریکی در عصارة ۱:۵ درجه حرارت عصارة اشباع با ترمومتر تعیین شد و سپس با استفاده از جدول استاندارد مقدار هدایت الکتریکی در ۲۵ درجه سانتی‌گراد مشخص شد. اندازه‌گیری PH با pH سوسپانسیون خاک را بعد از بهم‌زدن در زیر الکترود pH متر قرار داده و بعد از ثابت شدن عقرهٔ pH متر عدد pH قرائت شده است.

روش مورد استفاده در اندازه‌گیری مواد آلی روش والکلی بلاک است، که خاک را با اسید سولفوریک غلیظ و بی‌کرومات ترکیب کرده، بعد از اتمام واکنش اکسیداسیون و احیای زیادی بی‌کرومات باقی‌مانده با فروآمونیم سولفات تیتر می‌شود. رطوبت خاک به روش وزنی (آون) و از طریق خشک‌کردن نمونه در دستگاه اتوو با درجه حرارت ۱۰۵ درجه سانتی‌گراد تعیین شده است. انتهای بافت خاک، اندازه‌گیری درصد شن، رس و سیلت نمونه‌ها بر اساس روش هیدرومتری انجام شده است. در این روش ذرات کوچک‌تر از دو میکرون رس و ذرات بین ۲۰ تا ۵۰ میکرون سیلت و ذرات بین ۵۰ تا ۲۰۰ میکرون شن تعیین شده‌اند. برای بدست‌آوردن الگوهای پوشش گیاهی از تصاویر گوگل‌اوث، مشاهده میدانی (پلات‌گذاری)، و نرم‌افزار CAD استفاده شده است. انواع اصلی پیکربندی الگوها توزیع نواری، نقطه‌ای، و راهراه از تناب خاک و گیاه بسته به توبوگرافی و سایر شرایط خارجی الگوها می‌توانند عمود یا موازی شیب باشند (بوربونگو، ۲۰۰۹: ۲).

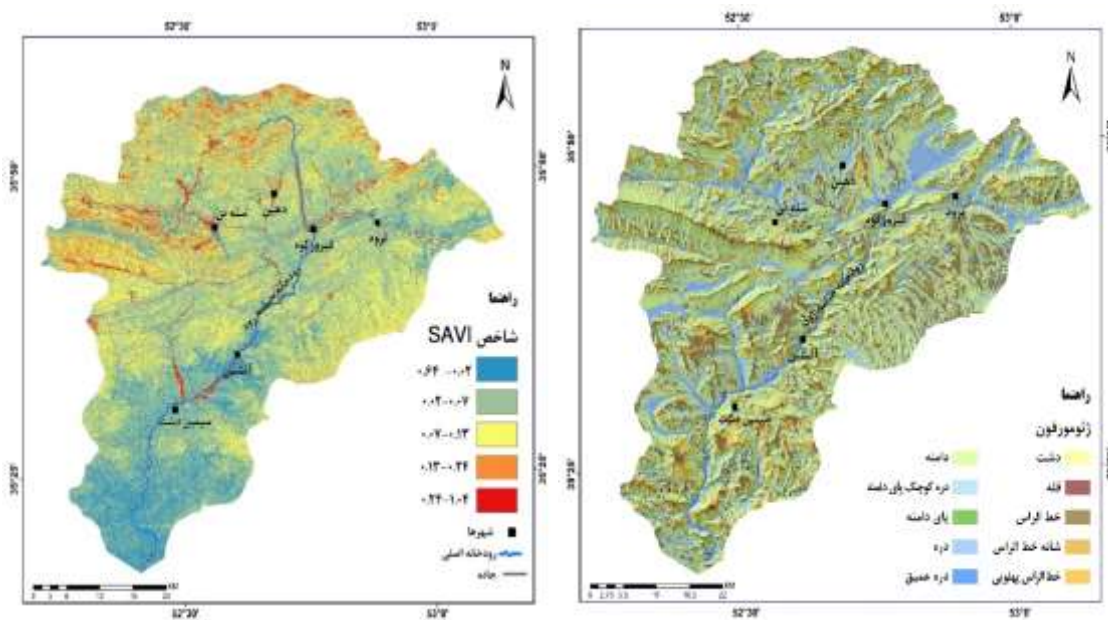
با درنظر گرفتن میزان تراکم و پراکنده‌گی در هر پلات الگوهای متفاوتی شامل متراکم نقطه‌ای، متراکم گپی، پراکنده نقطه‌ای، و پراکنده گپی استخراج شده است. پس از جمع‌آوری اطلاعات، نوع لندرفرم، ارتفاع، ویژگی‌های خاک (شیمیایی و فیزیکی)، و پوشش گیاهی (استخراج الگوها و تراکم)، برای بررسی و تحلیل بیوژئومورفولوژی از آنالیزهای آماری-از جمله همبستگی، تحلیل عاملی، و رگرسیون چندمتغیره و گام به گام- استفاده شده است. با استفاده از نمودارها و مقایسهٔ محورهای مختصات می‌توان چگونگی ارتباط بین الگوها و تراکم پوشش گیاهی و واحدهای لندرفرمی و ویژگی‌های خاک را بیان کرد. تجزیه و تحلیل آماری داده‌ها با استفاده از نرم‌افزار Minitab18 انجام شده است. بهمنظور تحلیل دقیق‌تر داده‌ها و دست‌یابی به نتایج علمی و در عین حال عملیاتی از روش تحلیل عاملی استفاده شد. برای دست‌یابی به عملکرد بیشتر از نتایج همبستگی و تحلیل عاملی جهت پیش‌بینی تغییرات متغیر وابسته (الگو و تراکم پوشش گیاهی) از آزمون رگرسیون استفاده شده است. شکل ۷ توزیع و پراکنده‌گی چهار نوع عنصر لندرفرمی را- که نمونه‌برداری و پلات‌گذاری بر روی آن‌ها در منطقه مورد مطالعه انجام شده است- نشان می‌دهد. با توجه به پراکنده‌گی و فراوانی دامنه ۱۲ پلات در دامنه‌ها، ۱۰ پلات در دره‌های کوچک پای دامنه، ۹ پلات در خطالرأس پهلوی، و ۹ پلات در پای دامنه انجام شد.



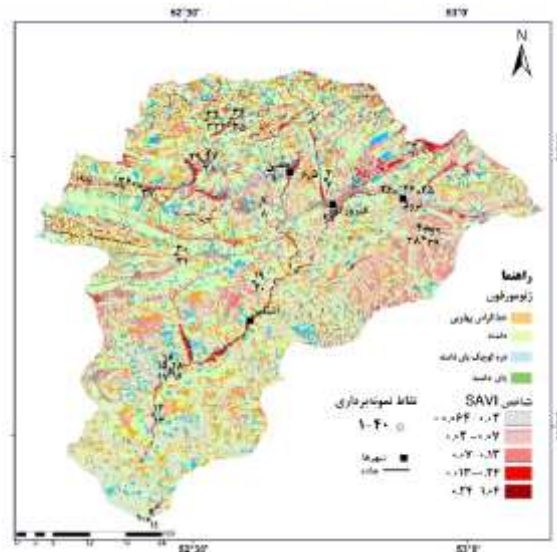
شکل ۵. پلات‌های برداشت شده از منطقه مورد مطالعه

یافته‌های پژوهش و بحث

د عنصر غالب از شکل زمین در منطقه مورد مطالعه به عنوان ژئومورفون شامل محدوده‌های مسطح (دشت)، قله، خطالرأس، شانه خطالراس، خطالراس پهلوی، دامنه، دره کوچک پای دامنه، پای دامنه، دره، گودال (دره عمیق) شناسایی شده است. به بیانی دیگر، شکل ۶ (سمت راست) توزیع فضایی الگوهای ژئومورفون در حوضه حبله‌رود را نشان می‌دهد که در آن لندفرم‌های بزرگ‌تر به اجزای ریزتر یا عناصر لندفرمی تقسیم شده‌اند. الگوهای شناسایی شده بیانگر عناصر اصلی لندفرم‌های این حوضه‌اند.



شکل ۶. نقشه ژئومورفون حوضه جبله‌رود سمت راست- نقشه پوشش گیاهی حوضه جبله‌رود سمت چپ مقادیر مستخرج از شاخص SAVI در پنج کلاس پوشش گیاهی متراکم، متوسط، کم، پراکنده، و بدون پوشش در شکل ۶ (سمت چپ) آشکار است. همان‌طور که شکل اخیر نشان می‌دهد، بیشتر سطح منطقه را پوشش متوسط و پراکنده تشکیل داده است و بیشترین میزان تراکم پوشش گیاهی با توجه به شاخص SAVI در امتداد رودخانه اصلی و مربوط به زمین‌های زراعی و کشاورزی بوده است. شکل ۷ نقشه واحدهای لندفرمی- گیاهی را نشان می‌دهد که شامل چهار نوع ژئومورفون است: دامنه؛ دره‌های کوچک پایی دامنه؛ خط‌الرأس پهلوی؛ پایی دامنه با پوشش گیاهی متراکم تا پراکنده.

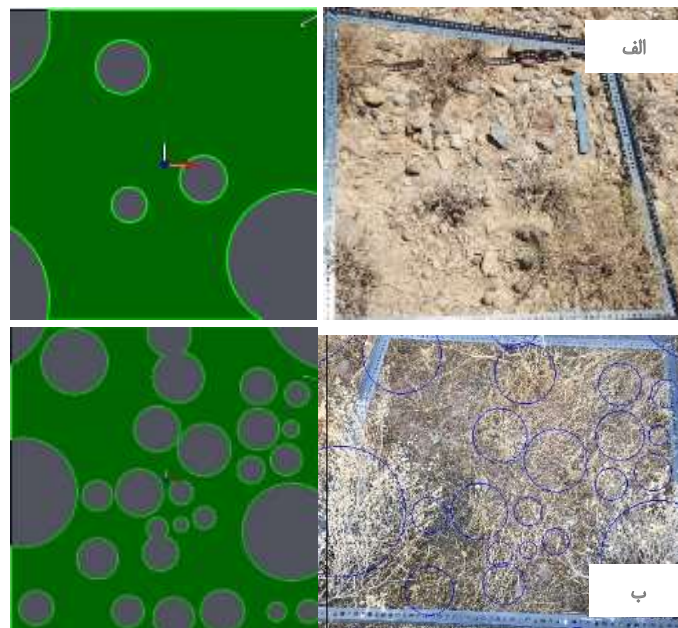


شکل ۷. نقشه واحدهای لندفرمی- گیاهی و نقاط نمونه برداری در جدول ۲ نتایج ویژگی‌های شیمیایی و فیزیکی چهل نمونه خاک برداشت شده از نقاط مختلف منطقه مورد مطالعه آورده شده است.

جدول ۲. نتایج آزمایشگاه ویژگی‌های شیمیایی و فیزیکی خاک

ردیف	شن%	سیلت%	رس%	مواد آلی%	PH--	EC Ds/m	ردیف	شن%	سیلت%	رس%	مواد آلی%	PH--	EC Ds/m	ردیف	شن%	سیلت%	رس%	مواد آلی%	PH--	EC Ds/m	
۱	۴.۳۶	۳۲	۶.۳۱	۶.۲۹	۳۰	۴۰.۴	۲۱	۱.۵	۵۱.۲	۸.۷	۴.۰	۶.۳۱	۶.۲۹	۲۰	۵۰.۴	۲۰	۶.۲۹	۶.۲۷	۴.۳۷	۱.۸	۶.۰
۲	۴.۳۲	۳۶	۶.۳۱	۶.۲۷	۲۴	۴.۴۸	۲۲	۰.۴۵	۹۸.۰	۸	۴.۰	۶.۳۱	۶.۲۹	۳۶	۴.۳۲	۳۶	۶.۳۱	۶.۲۷	۴.۳۲	۱.۸	۴.۰
۳	۴.۲۶	۴۰	۶.۳۳	۶.۲۷	۳۰	۴.۳۶	۲۴	۰.۳۶	۴۱.۱	۹.۷	۴.۰	۶.۳۳	۶.۲۷	۳۶	۴.۲۶	۳۶	۶.۳۳	۶.۲۷	۴.۲۶	۱.۸	۳.۰
۴	۴.۲۶	۴۰	۶.۳۳	۶.۲۷	۳۰	۴.۳۶	۲۴	۰.۳۶	۱۲.۱	۸.۷	۶.۰	۶.۳۷	۶.۲۷	۳۶	۴.۲۶	۳۶	۶.۳۷	۶.۲۷	۴.۲۶	۱.۸	۳.۰
۵	۴.۳۶	۳۲	۶.۳۱	۶.۲۷	۳۰	۴.۳۷	۲۶	۱۱.۱۱	۹۵.۰	۸	۴.۰	۶.۳۱	۶.۲۷	۳۲	۴.۳۶	۳۲	۶.۳۱	۶.۲۷	۴.۳۶	۱.۸	۴.۰
۶	۴.۴۲	۳۰	۶.۲۷	۶.۲۷	۴۱	۴.۱۶	۲۷	۴.۴	۷۳.۰	۸	۳.۰	۶.۲۷	۶.۲۷	۳۰	۴.۴۲	۳۰	۶.۲۷	۶.۲۷	۴.۴۲	۱.۸	۲.۰
۷	۴.۳۲	۳۰	۶.۳۷	۶.۲۷	۴۰	۴.۱۲	۲۸	۲.۴	۸۱.۰	۸	۳.۰	۶.۳۷	۶.۲۷	۳۰	۴.۳۲	۳۰	۶.۳۷	۶.۲۷	۴.۳۲	۱.۸	۳.۰
۸	۴.۴۸	۴۴	۶.۳۷	۶.۲۷	۴۰	۴.۲۲	۲۹	۱.۷	۴۵.۰	۹.۷	۴.۰	۶.۳۷	۶.۲۷	۴۴	۴.۴۸	۴۴	۶.۳۷	۶.۲۷	۴.۴۸	۱.۸	۲.۰
۹	۴.۴۸	۱۰	۶.۲۳	۶.۲۱	۲۲	۴.۵۶	۳۰	۷.۶	۴۵.۰	۴.۸	۲.۰	۶.۲۳	۶.۲۳	۲۲	۴.۵۴	۲۲	۶.۲۳	۶.۲۳	۴.۵۴	۱.۸	۴.۰
۱۰	۴.۴۲	۱۱	۶.۲۳	۶.۲۳	۲۸	۴.۴۸	۳۱	۸.۶	۴۵.۰	۲.۸	۳.۰	۶.۲۳	۶.۲۳	۲۳	۵۰.۴	۲۳	۶.۲۳	۶.۲۳	۵۰.۴	۱.۸	۴.۰
۱۱	۴.۴۲	۱۲	۶.۱۳	۶.۲۵	۲۵	۵.۴۵	۳۲	۲.۴	۵۲.۰	۶.۸	۳.۰	۶.۱۳	۶.۲۳	۴۴	۴.۴۲	۴۴	۶.۱۳	۶.۲۳	۴.۴۲	۱.۸	۴.۰
۱۲	۴.۴۸	۱۳	۶.۱	۶.۳۱	۳۳	۴.۳۵	۳۳	۷.۴	۵۲.۰	۷.۸	۳.۰	۶.۳۱	۶.۲۷	۳۲	۴.۴۸	۳۲	۶.۳۱	۶.۲۷	۴.۴۸	۱.۸	۳.۰
۱۳	۴.۴۸	۱۴	۶.۱	۶.۳۱	۳۳	۴.۳۵	۳۴	۹.۵	۴۴.۰	۸.۷	۸.۵	۶.۲۷	۶.۲۷	۲۴	۴.۴۸	۲۴	۶.۲۷	۶.۲۷	۴.۴۸	۱.۸	۴.۰
۱۴	۴.۲۶	۱۵	۶.۳۳	۳۰.۶	۲۹	۴۰.۴	۳۵	۴.۵	۴۴.۰	۹.۷	۸.۵	۶.۳۳	۴۰	۴.۲۶	۴۰	۶.۳۳	۴۰	۶.۳۳	۴.۲۶	۱.۸	۵.۰
۱۵	۴.۲۶	۱۶	۶.۳۳	۶.۳۳	۴۰	۴.۲۶	۳۶	۳.۵	۴۴.۰	۸.۷	۶.۵	۶.۳۷	۳۶	۴.۲۶	۳۶	۶.۳۷	۳۶	۶.۳۷	۴.۲۶	۱.۸	۵.۰
۱۶	۴.۵۴	۱۷	۶.۳۴	۶.۳۴	۴۰	۴.۲۵	۳۷	۴.۷	۴۴.۰	۳.۸	۳.۰	۶.۱۹	۶.۱۹	۲۶	۴.۵۴	۲۶	۶.۱۹	۶.۱۹	۴.۵۴	۱.۸	۴.۰
۱۷	۴.۴۸	۱۸	۶.۳۶	۳۹	۴.۲۴	۳۸	۷.۵	۴۴.۰	۵.۸	۲.۰	۶.۲۱	۶.۲۱	۳۰	۴.۴۸	۳۰	۶.۲۱	۶.۲۱	۴.۴۸	۱.۸	۴.۰	
۱۸	۴.۴۸	۱۹	۶.۲۷	۶.۲۷	۲۷	۴.۴۵	۳۹	۴.۶	۴۶.۰	۹.۷	۴.۰	۶.۲۳	۶.۲۳	۲۸	۴.۴۸	۲۸	۶.۲۳	۶.۲۳	۴.۴۸	۱.۸	۳.۰
۱۹	۴.۴۶	۲۰	۶.۲۸	۲۴	۴.۴۷	۴۰	۹.۶	۴۶.۰	۷.۷	۵.۰	۶.۲۷	۶.۲۷	۲۰	۴.۴۶	۲۰	۶.۲۷	۶.۲۷	۴.۴۶	۱.۸	۳.۰	

نتایج ویژگی‌های پوشش گیاهی (الگو و تراکم) در شکل ۸ نشان داده شده است که ۴ الگوی متراکم نقطه‌ای، متراکم گپی، پراکنده نقطه‌ای، و پراکنده گپی برای چهل پلاٹ استخراج شده است. از ۱۵ الگوی متراکم نقطه‌ای، ۶ الگو در پای دامنه، ۵ الگو در دره‌های کوچک پای دامنه، در دامنه و خط الرأس پهلوی هر کدام ۲ الگو تشخیص داده شده است و الگوی پراکنده نقطه‌ای بیشترین سهم را به ترتیب بر روی دامنه‌ها (۵ الگو)، خط الرأس پهلوی (۴ الگو) دره‌های کوچک پای دامنه ۳ و ۲ الگو بر روی پای دامنه داشته است. ۶ الگوی متراکم گپی استخراج شد که سهم دامنه‌ها بیشتر از سایر عناصر بود؛ به ترتیب دامنه ۳ الگو، خط الرأس پهلوی ۲، و دره‌های کوچک ۱ الگو بود. الگوی پراکنده گپی کمترین تکرار را بر روی عناصر لندفرمی مورد نظر داشت؛ به این صورت که بر روی دامنه‌ها ۲ الگو و سایر عناصر لندفرمی فقط ۱ الگو سهم هر کدام از عناصر بود.



شکل ۸. الگوهای استخراجی از پلات‌ها: (الف) الگوی پراکنده نقطه‌ای؛ (ب) متراکم نقطه‌ای

در آنالیز آماری داده‌ها، ارتباط بین متغیرها بر اساس ضریب همبستگی پیرسون نشان می‌دهد که الگو و تراکم پوشش گیاهی با متغیرهای درصد شن و میزان PH و EC همبستگی مثبت دارد (جدول ۳).

جدول ۳. همبستگی بین متغیرها

الگو	ارتفاع	شن	رس	سیلت	EC	PH	مواد آلی	مواد آلی
	-۰,۴۲۹							ارتفاع
	۰,۰۰۶							
شن	-۰,۳۳۰	۰,۳۶۴						
	۰,۰۳۸	۰,۰۲۱						
سیلت	-۰,۷۵۸	۰,۱۴۸	-۰,۲۳۷					
	۰,۰۰۰	۰,۳۶۱	۰,۱۴۲					
رس	۰,۵۱۷	-۰,۸۲۲	۰,۴۰۵	-۰,۲۱۴				
	۰,۰۰۱	۰,۰۰۰	۰,۰۱۰	۰,۱۸۵				
EC	۰,۱۱۸	۰,۰۶۸	-۰,۱۲۷	-۰,۳۴۱	۰,۱۱۷			
	۰,۴۶۸	۰,۶۷۷	۰,۴۳۴	۰,۰۳۱	۰,۴۷۳			
PH	-۰,۱۴۳	-۰,۱۵۴	۰,۰۹۰	۰,۰۴۹	-۰,۵۰۷	۰,۲۴۸		
	۰,۳۷۸	۰,۳۴۳	۰,۵۸۱	۰,۷۶۵	۰,۰۰۱	۰,۱۲۲		
مواد آلی	-۰,۲۴۹	-۰,۱۷۴	۰,۲۴۳	۰,۲۱۸	-۰,۳۱۴	۰,۴۶۷	-۰,۶۰۷	
	۰,۱۲۱	۰,۲۸۴	۰,۱۳۰	۰,۱۷۷	۰,۰۴۹	۰,۰۰۲	۰,۰۰۰	
رطوبت	۰,۲۲۵	-۰,۲۳۰	-۰,۰۴۲	-۰,۰۲۵	-۰,۰۵۵	-۰,۰۶۰	۰,۳۴۳	-۰,۶۰۵
	۰,۱۶۳	۰,۱۵۳	۰,۷۹۷	۰,۸۷۷	۰,۷۳۴	۰,۷۱۲	۰,۰۳۱	۰,۰۰۰
عنصر لندفرمی	۰,۵۵۸	-۰,۱۲۲	۰,۰۱۱	۰,۰۶۷	۰,۱۳۱	-۰,۱۴۵	۰,۰۸۷	-۰,۶۴۲
	۰,۰۰۰	۰,۴۵۳	۰,۹۴۶	۰,۶۸۳	۰,۴۲۲	۰,۳۷۲	۰,۵۹۲	۰,۰۰۰
رطوبت								
عنصر لندفرمی	۰,۳۲۱							
	۰,۰۴۴							

نتایج تحلیل عاملی ۳ ترکیب اصلی را متغیرها مشخص کرده است. درصد واریانس به دست آمده توسط هر کدام از ترکیب‌ها در جدول ۴ نشان داده شده است. اولین سری از مؤلفه‌های اصلی متغیرهای ارتفاع، میزان رس، سیلت، مواد آلی، رطوبت خاک، و نوع لندفرم است که دارای واریانس ۳,۵ است و ۳۱ درصد از کل واریانس را تشکیل می‌دهد. دومین و سومین سری از مؤلفه‌های اصلی به ترتیب دارای واریانس ۲,۳ و ۱,۷ است و ۳۷ درصد از تغییرات را به خود اختصاص می‌دهند و مجموع ۳ عامل ۶۹ درصد تغییرات الگوی پوشش گیاهی را برآورد کرده است (جدول ۴). نتایج حاصل از تحلیل رگرسیون چندگانه توأم (رگرسیون گام به گام) بین متغیرهای مستقل، ارتفاع، نوع واحد لندفرم، EC، مواد آلی، رطوبت، بافت خاک (درصد رس، شن، و سیلت) و متغیر وابسته یعنی الگو و تراکم پوشش گیاهی در جدول ۵ نشان داده شده است.

جدول ۴. تحلیل عاملی متغیرها

مشترک	فاکتور ۳	فاکتور ۲	فاکتور ۱	متغیر
۰,۵۷۹	۰,۱۱۵	۰,۲۸۴	۰,۶۴۶	ارتفاع
۰,۹۱۹	-۰,۴۰۲	۰,۵۲۹	-۰,۵۹۱	شن
۰,۶۹۶	۰,۴۶۱	-۰,۴۷	۰,۵۱۳	سیلت
۰,۷۶۹	۰,۴۰۱	-۰,۴۹۲	۰,۶۰۵	رس
۰,۹۸۲	-۰,۵۰۴	-۰,۸۴	-۰,۱۵	EC
۰,۳۱۶	۰,۴۱۵	-۰,۰۰۴	-۰,۳۸	PH
۰,۵۹۹	-۰,۱۲۹	۰,۱۸۶	۰,۷۴	مواد آلی
۰,۵۳	-۰,۴۹۵	۰,۲۵۸	۰,۴۶۷	رطوبت
۰,۵۱	-۰,۴۳۸	۰,۰۹۸	۰,۵۵۶	عنصر لندفرمی
۰,۷۸۵	۰,۳۲۳	-۰,۱۷۶	-۰,۸۰۶	الگو
۷,۶۶۸۲	۱,۷۸۷۴	۲,۳۷۶۷	۳,۵۰۴۱	واریانس
۰,۶۹۷	۰,۱۶۲	۰,۲۱۶	۰,۳۱۹	Var%

جدول ۵. رگرسیون بین متغیرها

P-Value	F-Value	Source	P-Value	F-Value	Source
۰,۵۳۶	۰,۳۹	EC	۰,۰۰۰	۷۱,۸	رگرسیون
۰,۷۳۰	۰,۱۲	PH	۰,۶۲۵	۰,۳۴	ارتفاع
۰,۱۸۸	۸۱,۱	مواد آلی	۰,۱۴۷	۲۲,۲	شن
۰,۰۰۳	۱۰,۶۸	رطوبت	۰,۸۷۷	۰,۲	سیلت
۰,۰۰۷	۳۴,۸	عنصر لندفرمی	۰,۴۰۰	۰,۷۳	رس
خلاصه مدل:			۳۰	Error:	
S	R-sq	R-sq(adj)	۳۹	Total:	
۰,۷۱۴۷۴۶	%۳۲,۷۲	%۰,۲۶۴			

با توجه به جدول ۵، همبستگی بین الگو و تراکم پوشش گیاهی با نوع رطوبت خاک و نوع واحد لندفرم به ترتیب با مقدار $p < 0.003$ و نوع لندفرم با مقدار $p < 0.007$ معنی دار است. مقدار ضریب تعیین (R^2) نشان می‌دهد که متغیرهای پیش‌بینی کننده ۷۲,۳۲ درصد از واریانس را در الگوی پوشش گیاهی توضیح می‌دهند. تقریباً ۷۲ درصد از تغییرات پوشش گیاهی به این متغیرها مربوط است. با توجه به داده‌های مدل رگرسیونی الگو و تراکم پوشش گیاهی با لندفرم و ویژگی‌های خاک سطح معنی‌داری در بین متغیرهای مستقل نوع واحد لندفرم، رطوبت خاک، مواد آلی، و ارتفاع ارتباط معنی‌داری به دست آمده و مدل رگرسیونی نیز معنی‌دار شده است. درصد شن و PH با الگو و تراکم پوشش گیاهی ارتباط داشتند، اما مدل رگرسیونی معنی‌دار نشده است. هیچ ارتباط معنی‌داری بین سایر متغیرها (درصد سیلت و رس

(EC) و الگوی پوشش گیاهی مشاهده نشد و نقشی در پیش‌بینی متغیر وابسته نداشتند. نتایج رگرسیون گام به گام برای درک ترتیب اهمیت متغیرها نشا داد که واحد لندفرمی بیشترین تأثیر را داشته و بنابراین در اولین مرحله وارد مدل رگرسیونی شده است و پس از آن نیز به ترتیب متغیرهای رطوبت خاک، میزان مواد آلی، و میزان شن وارد مدل رگرسیونی شده است. مقدار R2 نشان می‌دهد که متغیرهای پیش‌بینی‌کننده مرحله اول ۷۰,۵۰ درصد از واریانس را در الگوی پوشش گیاهی توضیح می‌دهند. تقریباً ۷۰ درصد از تغییرات پوشش گیاهی به این متغیرها مربوط است (جدول ۶).

جدول ۶. آزمون رگرسیون گام به گام بین متغیرها

مرحله ۱							
مرحله ۲				مرحله ۳			
P	Coef	P	Coef	P	Coef	P	Coef
۴۸۳.۴		۴۶۴.۵		۳۰۶.۵		۹۴۲.۳	Constant
.,۰۰۷	۳۳۴.-۰	.,۰۱۱	۳۲۵.-۰	.,۰۰۰	۵۰۸.-۰	.,۰۰۰	عنصر لندفرمی
.,۰۰۰	۲۷۰.-۰۰	.,۰۰۰	۲۶۹۷.-۰	.,۰۰۰	۲۸۰۵.-۰		رطوبت
.,۰۰۲۹	۶۹۸.-۰	.,۰۰۰۷	۸۸۴.-۰				مواد آلی
.,۰۰۳۹	.,۰۰۲۲۴						شن
.,۶۸۳۱۴۸		.,۷۱۶۷۱۴		.,۷۸۳۴۱۲		.,۹۲۵۰۹۶	S
%۷۰.۵۰		%۶۱.۶۶		%۹۹.۵۸		%۷۷.۴۱	R-sq
%۱۳۵۷		%۸۲۶۳		%۷۸.۵۶		%۷۳.۳۹	R-sq(adj)
%۳۱۶۱		%۸۱.۵۷		%۲۱.۴۸		%۳۰.۳۵	R-sq(pred)
۹۷.۱		۲۰.۴		۱۰.۴۵		۶۶.۲۷	Mallows' Cp
$\alpha_{\text{remove}} = .,۱۵, \alpha_{\text{enter}} = .,۱۵$							
S	R-sq	R-sq(adj)	R-sq(pred)				
.۶۸۳۱۴۸	%۵۰.۷۰	%۱۳۵۷	%۳۱۶۱				

$$\text{الگو} = ۴۸۳.۴ + ۰.۰۲۲۴ \cdot \text{شن} - ۰.۶۹۸ \cdot \text{مواد آلی} - ۰.۳۳۴ \cdot \text{عنصر لندفرمی}$$

با توجه به تجزیه و تحلیل‌های انجام‌شده در ارتباط با روابط آماری، از بین متغیرهای مستقل متغیرهای درصد شن و میزان PH و EC همبستگی مثبت با متغیر وابسته دارد. در آزمون رگرسیون، رطوبت خاک و نوع واحد لندفرم بیشترین تأثیر را در پیش‌بینی تغییرات متغیر وابسته یعنی الگو و تراکم پوشش گیاهی داشته‌اند. تجزیه و تحلیل نشان می‌دهد که توزیع فضایی پوشش گیاهی در مقیاس کوچک با واحدهای لندفرمی ارتباط عمیقی دارد. تغییرات الگوهای پوشش گیاهی در مقیاس مورد نظر در موقعیت ارتفاعی و جغرافیایی یکسان بسیار واضح است و حاکی از ارتباط قوی بیوژئومورفولوژی در منطقه است. در واحدهای لندفرمی مورد نظر، پوشش گیاهی الگوهای پایداری را شکل می‌دهند و در نهایت این پایداری به تراکم پوشش گیاهی منجر می‌شود. واحدهای لندفرمی، موزاییک ناهمگنی از الگوی پوشش گیاهی را بر سطح لندفرم‌ها در مقیاس بزرگ به وجود می‌آورند. نتایج به دست آمده نشان داده است که ارتباط معنی‌دار و مستقیمی بین نوع واحد لندفرمی و الگو و تراکم پوشش گیاهی وجود دارد، زیرا واحدهای لندفرمی به صورت مستقیم و غیرمستقیم در سایر عوامل رشد و پراکنش گیاه مانند جذب رطوبت، حرارت، میزان مواد آلی، میزان فرسایش، بافت خاک، و فعالیت میکروارگانیسم‌ها نقش مؤثری دارند. در حقیقت، هر کدام از واحدهای لندفرمی با توجه به شکل و ویژگی‌های فرمی در نتیجه فرایندهای غالب در مقیاس کوچک در الگو و تراکم پوشش گیاهی نقش دارند. از بین واحدهای لندفرم‌های انتخاب‌شده عبارت‌اند از: دامنه، دره کوچک پای دامنه، خط‌الرأس پهلوی، و پای دامنه. لندفرم‌های پای دامنه و دره‌های کوچک پای دامنه دارای بیشترین تراکم و الگوی پراکنش نقطه‌ای‌اند که هر دو لندفرم به دلیل فرم و شکلی که دارند باعث تجمع آب (رطوبت بالا)، فعالیت میکروارگانیسم‌ها (مواد آلی بیشتر)، تولید خاک (بافت خاک)، و فرسایش کمتر شده است و این ویژگی‌ها به افزایش تراکم و نوع الگوی مترکم نقطه‌ای منجر شده است. لندفرم دامنه به‌طور کلی چهار

الگوی استخراجی در منطقه مورد مطالعه را دارد. با توجه به تفاوت دامنه‌ها از نظر موقعیت منطقه، اقلیم، ویژگی‌های توپوگرافی الگوهای متفاوتی از پراکنش پوشش گیاهی را نشان می‌دهند.

نتیجه‌گیری

بر اساس تحلیل‌های آماری انجام شده در مورد ارتباط عناصر لندفرمی و خصوصیات فیزیکی و شیمیایی خاک با الگوی پراکندگی پوشش گیاهی، می‌توان نتیجه گرفت که تغییرات الگوی پراکنش گیاهی ارتباط قابل ملاحظه‌ای با نوع لندفرم و خصوصیات خاک دارد. در خصوص پوشش گیاهی، بیشترین الگوی متراکم نقطه‌ای در پای دامنه، دره‌های کوچک پای دامنه، و کمترین آن در خطالرأس پهلویی رخ داده است. الگوی پراکنده نقطه‌ای بیشترین سهم را به ترتیب بر روی دامنه‌ها، خطالراس پهلویی، دره‌های کوچک پای دامنه، و پای دامنه داشته است. در الگوی متراکم گپی سهم دامنه‌ها بیشتر از سایر عناصر بود و الگوی پراکنده گپی کمترین تکرار را بر روی عناصر لندفرمی مورد نظر داشته است که به طور کلی در دامنه‌ها مشاهده شده است.

در این مطالعه چهار نوع عنصر لندفرمی همراه ویژگی‌های شیمیایی و فیزیکی خاک در ارتباط با الگو و تراکم پوشش گیاهی تجزیه و تحلیل شد؛ به طوری که نوع الگوی پوشش گیاهی با میزان شن، PH، و EC همبستگی مثبت دارد و با باقی مانده متغیرها همبستگی منفی دارد. نتیجه تحلیل عاملی و مدل رگرسیونی نشان داد تقریباً ۷۰ درصد تغییرات الگوی پوشش گیاهی را می‌توان با متغیرهای ذکر شده در پژوهش تبیین کرد. از بین متغیرهای مستقل نوع واحد لندفرم، رطوبت خاک، مواد آلی، و ارتفاع ارتباط معنی‌داری با متغیر وابسته دارند و بیانگر این است که الگوهای متفاوت پوشش گیاهی در نقاط مختلف حوضه حبله‌رود با توجه به نوع لندفرم و ارتفاع آن و همچنین ویژگی‌های متفاوت خاک آن‌ها مرتبط است. اثر عناصر لندفرمی بسته به اینکه چقدر تحت تأثیر ویژگی‌های خاک باشد کاملاً متفاوت است. نتایج پژوهش اخیر با تحقیقات کاسلین در سال ۲۰۱۹، رابطه پوشش گیاهی و ویژگی‌های شیمیایی خاک در لندفرم‌های مختلف در مقیاس کوچک تطابق دارد و با پژوهش فلین در سال ۲۰۲۰ در خصوص تغییرات خاک برای درک ویژگی‌های فیزیکی و شیمیایی و فرایندهای بیولوژیکی با استفاده از روش ژئومورفون مطابقت دارد. همچنین، در مقایسه با نتایج پژوهش دک در سال ۲۰۲۱ در ارتباط با تغییرات پوشش گیاهی در عوارض کوچک لندفرمی نتایج مشابهی به دست آمده است. بنابراین، تأثیرات فرایندهای ژئومورفیک در بررسی ویژگی‌های پوشش گیاهی اجتناب‌ناپذیر است.

منابع

- احمدی، ح.; جوانشیر، ک.; قبریان، غ. و حبیبیان، س. (۱۳۸۱). بررسی ویژگی‌های اکولوژیک جوامع گیاهی با توجه به واحدهای ژئومورفولوژی (مطالعه موردی: منطقه چنار راهدار استان فارس)، *مجله منابع طبیعی ایران*، ۵۵(۱).
- شکرالله‌ی، ش.; مرادی، ح و دیانتی، ق. (۱۳۹۱). بررسی اثر ویژگی‌های خاک و عوامل فیزیوگرافی بر پوشش گیاهی (مطالعه موردی: بخشی از مراتع بیلاقی پلور)، *تحقیقات مراتع و بیابان ایران*، ۱۹(۴): ۶۶۸-۶۵۵.
- قادری، ش.; امیریان، ع.; کریم‌زاده، آ.; دیفرخشن، م. و پور Paxayi، ح. (۱۳۹۴). بررسی ارتباط پوشش گیاهی با عوامل خاکی با استفاده از آنالیز چندمتغیره (مطالعه موردی: مراتع قشلاقی حوزه چمران استان خوزستان)، *تحقیقات مراتع و بیابان ایران*، ۲۴(۳): ۴۹۳-۴۷۸.
- تایا، ع.; کابلی، س.; آذرنبون، ح و ناصری، ح (۱۳۹۸). اثر برخی خصوصیات خاک بر الگوی پراکنش گونه‌های گیاهی در حاشیه‌جنوبی پلایای حاج علیقلی دامغان، *مرتع*، ۱۳(۴): ۷۰۳-۷۱۴.
- علی‌نژاد، م.; علی‌زاده، م.; اونق، م. و محمدیان بهبهانی، ع. (۱۳۹۷). بررسی الگوی پراکنش مکانی نبکا (مطالعه موردی: دشت صوفیکم، استان گلستان)، *پژوهش‌های جغرافیای طبیعی*، ۵۰(۴): ۶۹۷-۷۱۲.
- جوادی، ا.; خان آرموبی، ع و جعفری، م (۱۳۹۵). بررسی ارتباط فاکتورهای پوشش گیاهی و خصوصیات خاک (مطالعه موردی پارک ملی خجیر)، *مرتع و آبخیزداری*، ۴۹(۲): ۳۵۳-۳۶۶.
- جابری، م.; شایان، س.; یمانی، م.; قاسمی، م و شریفی‌کیا، م (۱۳۹۱). نقش نوزمین ساخت در تحولات ژئومورفولوژیک مرز ساختاری البرز جنوبی - ایران مرکزی (مطالعه موردی: حوضه حبله‌رود)، *پژوهش‌های جغرافیای طبیعی*، ۴۴(۴): ۸۹-۸۱.
- درویش‌زاده، ر.; متکان، ع. و حسینی اصل، ا. (۱۳۹۱). تخمین درصد پوشش گیاهی منطقه خشک ایران مرکزی با استفاده از تصاویر ماهواره‌ای (مطالعه موردی: حوزه شیطور، بافق)، دو فصل نامه خشک بوم، ۲۵-۳۷.
- زارع، م.; قدرتی، ج.; نوروزی، غ و دادر، ل. (۱۳۸۵). بررسی رابطه بین پوشش گیاهی با خاک و شکل زمین در حوزه دق فینو بندرعباس، *مجله پژوهش و سازندگی*، ۷۶: ۱۴۲-۱۵۰.
- فرج‌زاده، منوچهر (۱۳۷۸). طرح آمایش استان تهران، *مطالعات آب وزارت نیرو*.
- طرح وزارت جهاد کشاورزی (۱۳۸۹). پروژه حبله‌رود، ج ۵.
- سازمان هواشناسی - <http://www.irimo.ir>
- Alexander, C.; Deák, B. and Heilmeier, H. (2016). Micro-topography driven vegetation patterns in open mosaic landscapes. *Ecological indicators*, 60: 906-920.
- Borgogno, F. et al. (2009). Mathematical models of vegetation pattern formation in ecohydrology. *Reviews of Geophysics*, 47(1).
- Brancaleoni, L. et al. (2003). Relationships between geomorphology and vegetation patterns in subantarctic Andean tundra of Tierra del Fuego. *Polar Biology*, 26(6): 404-410.
- Cannone, N. et al. (2004). Relationships between vegetation patterns and periglacial landforms in northwestern Svalbard. *Polar Biology*, 27(9): 562-571.

- Casalini, A. I.; Bouza, P. J. and Bisigato, A. J. (2019). Geomorphology, soil and vegetation patterns in an arid ecotone. *Catena*, 174: 353-361.
- Deák, B.; Kovács, B.; Rádai, Z.; Apostolova, I.; Kelemen, A.; Kiss, R.; ... and Valkó, O. (2021). Linking environmental heterogeneity and plant diversity: the ecological role of small natural features in homogeneous landscapes. *Science of The Total Environment*, 763: 1-13.
- Dunkerley, D. L. (2014). Vegetation mosaics of arid Western New South Wales, Australia: Considerations of their origin and persistence. *Patterns of Land Degradation in Drylands*, Springer: 315-345.
- El-Keblawy, A.; Abdelfattah, M. A. and Khedr, A. H. A. (2015). Relationships between landforms, soil characteristics and dominant xerophytes in the hyper-arid northern United Arab Emirates. *Journal of Arid Environments*, 117: 28-36.
- Flynn, T.; Rozanov, A.; Ellis, F.; de Clercq, W. and Clarke, C. (2020). Farm-scale soil patterns derived from automated terrain classification. *Catena*, 185: 104311.
- Haselberger, S.; Ohler, L. M.; Junker, R. R.; Otto, J. C.; Glade, T. and Kraushaar, S. (2021). Quantification of biogeomorphic interactions between small-scale sediment transport and primary vegetation succession on proglacial slopes of the Gepatschferner, Austria. *Earth Surface Processes and Landforms*.
- Hupp, C. R. and Rinaldi, (2007). Riparian vegetation patterns in relation to fluvial landforms and channel evolution along selected rivers of Tuscany (Central Italy). *Annals of the Association of American Geographers*, 97(1): 12-30.
- Jasiewicz, J, Paweł N, Tomasz F. Stepinski (2013). Landscape similarity, retrieval, and machine mapping of physiographic units, *Geomorphology*, 221: 104-112
- Kim, D. and Kupfer, J. A. (2016). Tri-variate relationships among vegetation, soil, and topography along gradients of fluvial biogeomorphic succession. *PloS one*, 11(9): e0163223.
- Li, X. R. et al. (2010). Micro-geomorphology determines community structure of biological soil crusts at small scales. *Earth Surface Processes and Landforms*, 35(8): 932-940.
- Libohova. Z, Hans, Winzeler.E, Lee.B, Philip J. Schoeneberger, Jyotishka Datta Phillip R. Owens (2016). Geomorphons- Landform and property predictions in a glacial moraine in Indiana landscapes, *Catena*, 142; 66-76.
- Lukina, N. V.; Orlova, M. A.; Bakhmet, O. N.; Tikhonova, E. V.; Tebenkova, D. N.; Kasakova, A. I. and Knyazeva, S. V. (2019). The influence of vegetation on the forest soil properties in the Republic of Karelia. *Eurasian Soil Science*, 52(7): 793-807.
- Marchetti, Z. Y. et al. (2020). Biogeomorphic succession in a fluvial-lacustrine delta of the Middle Paraná River (Argentina): Feedbacks between vegetation and morphodynamics. *Science of The Total Environment*, 739: 139799.
- Masoud, A. A. and Koike, K. (2006). Arid land salinization detected by remotely-sensed landcover changes: A case study in the Siwa region, NW Egypt. *Journal of arid environments*, 66(1): 151-167.

- Murray, J. M. et al. (2002). Biogeomorphological implications of microscale interactions between sediment geotechnics and marine benthos: a review. *Geomorphology*, 47(1): 15-30.
- Ngunjiri, M. W.; Libohova, Z.; Owens, P. R. and Schulze, D. G. (2020). Landform pattern recognition and classification for predicting soil types of the Uasin Gishu Plateau, Kenya. *Catena*, 188: 104390.
- Nie, X.; Guo, W.; Huang, B.; Zhuo, M.; Li, D.; Li, Z. and Yuan, Z. (2019). Effects of soil properties, topography and landform on the understory biomass of a pine forest in a subtropical hilly region. *Catena*, 176: 104-111.
- Paudel, S. and Vetaas, O. R. (2014). Effects of topography and land use on woody plant species composition and beta diversity in an arid Trans-Himalayan landscape, Nepal. *Journal of Mountain Science*, 11(5): 1112-1122.
- Poelking, E. L.; Schaefer, C. E. R.; Fernandes Filho, E. I.; De Andrade, A. M. and Spielmann, A. A. (2015). Soil–landform–plant-community relationships of a periglacial landscape on Potter Peninsula, maritime Antarctica. *Solid Earth*, 6(2): 583-594.
- Robaina, S. Trentin, R. Cristo, S. S. V. and Scotti, A. A. V. (2017). Application of the concept of geomorphons to the landform classification in Tocantins state, Brazil. *Raega-O Espaço Geográfico em Análise*, 41: 37-48.
- Rodrigues, P. M. S.; Schaefer, C. E. G. R; de Oliveira Silva, J.; Ferreira Júnior, W. G.; dos Santos, R. M. and Neri, A. V. (2018). The influence of soil on vegetation structure and plant diversity in different tropical savannic and forest habitats. *Journal of Plant Ecology*, 11(2): 226-236.
- Stepinski, T. F. and J. Jasiewicz (2011). Geomorphons-a new approach to classification of landforms. *Proceedings of geomorphometry*, 109-112.
- Thompson, D. B.; Walker, L. R.; Landau, F. H. and Stark, L. R. (2005). The influence of elevation, shrub species, and biological soil crust on fertile islands in the Mojave Desert, USA. *Journal of Arid Environments*, 61(4): 609-629.
- Valente, C. et al. (2013). Relationships among vegetation, geomorphology and hydrology in the Bananal Island tropical wetlands, Araguaia River basin, Central Brazil. *Journal of South American Earth Sciences*, 46: 150-160.
- Wang, J.; Wang, H.; Cao, Y.; Bai, Z. and Qin, Q. (2016). Effects of soil and topographic factors on vegetation restoration in opencast coal mine dumps located in a loess area *Scientific reports*, 6(1): 1-11.
- Yan, G.; Cheng, H.; Teng, L.; Xu, W.; Jiang, Y.; Yang, G. and Zhou, Q. (2020). Analysis of the Use of Geomorphic Elements Mapping to Characterize Subaqueous Bedforms Using Multibeam Bathymetric Data in River System. *Applied Sciences*, 10(21): 7692.
- Zhao, Q.; Ding, S.; Liu, Q.; Wang, S.; Jing, Y. and Lu, M. (2020). Vegetation influences soil properties along riparian zones of the Beijiang River in *Southern China*, 8, e9699.